

鈍和粘性土のひずみ速度効果について

東北大學 工學部 學 ○白川 元彦
東北大學 工學部 正 菅野 高弘
東北大學 工學部 正 柳澤 崇司

1. はじめに

粘性土には、砂質土と比較して時間依存性挙動(クリープ・应力緩和・ひずみ速度効果等)が顕著である。これら的时间依存性挙動を表現す

る構成式は現在多くのものが提

案⁽¹⁾されているが、時間依存性を

表わすために使用されているパラメータの物理的意味があまり

明確でないものも見受けられる。

そこで本研究においては、粘性

土のひずみ速度効果について、

一般に行われている物理試験か

ら得られる計算定数などのよう

に関係しているかを調べたもの

である。特に粘性土の特性を表

わす定数として、コンステン

シーに注目し、カオリイン粘土を

用い、コンステンシー条件が

異なる供試体を作成し、実験を

行なったものである。

2. 供試体作成方法

コンステンシーとひずみ速

度効果との関係を調べるために

単に異なる土を用いて実験を行

なうに、ここでは、土の種類の違い

等の影響をでてくるため、でき

るだけコンステンシーのみに

着目するように、市販のカオリ

ン粘土に凝集材である硫酸バニ

ドを添加して用いた。この添加

量の違いにより、2コンステン

シーを変化させてものを、よく

練り混ぜて大型の圧密容器に入

れて約0.8 kg/cm²で圧密し、

供試体を作成した。

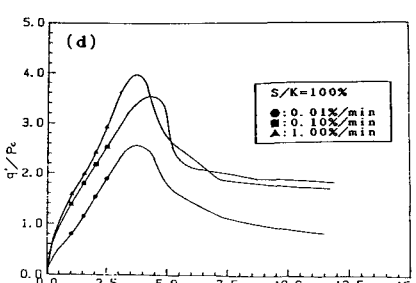
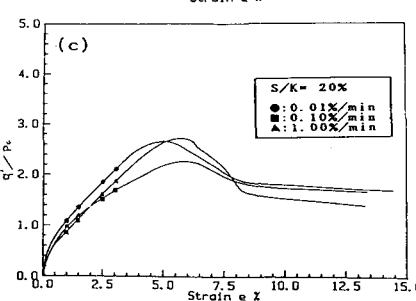
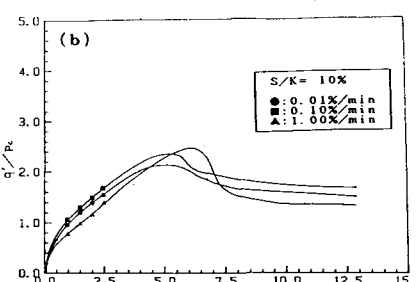
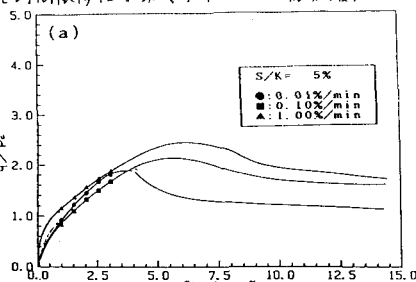


図-1 応力-ひずみ曲線

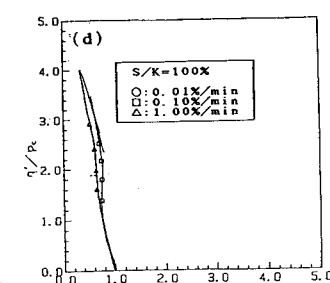
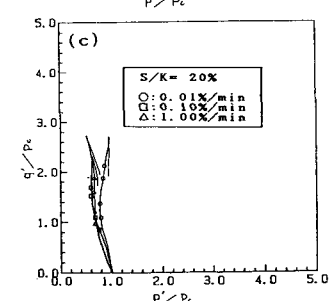
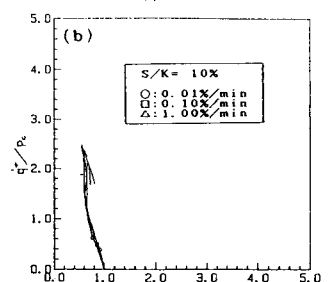
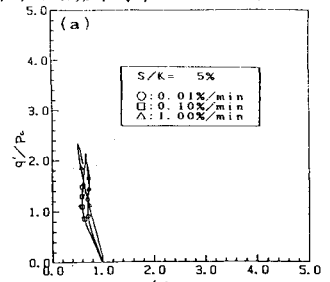


図-2 有効応力経路

3. 実験方法

各種試料について、ひずみ制御三軸圧縮試験を、三段階ひずみ速度 ($\dot{\epsilon} = 0.01 \sim 1.00 \%/\text{min}$) を用い、非排水条件下で行なった。供試体は、直徑約5cm、高さ約12.5cmの円柱供試体を用い、供試体側面には、ドレインペーパーを巻きつけ、排水を上下両端及び側面より行ない、排水・圧密の促進を行なう。また、供試体への空気・水の浸透及びゴムストリーブの劣化を防ぐため、ゴムストリーブにはシリコングリスを塗布し、セル内にシリコンオイルを満した。

4. 実験結果

図-1(a)(b)(c)(d)は、軸ひずみ ϵ ~ 応力比 σ/P_c (P_c は圧密圧) 関係を、図-2(a)(b)(c)(d)は、角節応力経路を示したものである。以上の図からも、ひずみ速度が大きくなるにつれてその破壊強度 σ_f が大きくなることがわかる。またカオリーン粘土と硫酸バンドの重量百分率 S_b/K が大きくなるにつれて、その σ_f も大きくなっている。こうして得られたものを図-3である。図-3より、

$$\sigma_f = (a \cdot S_b/K + b) \log \dot{\epsilon} + c \cdot S_b/K + d \quad (a, b, c, d \text{ は定数}) \quad ①$$

を求めることができる。これは σ_f が、ひずみ速度の対数に比例して増加する。従来の研究結果と一致している。また、この中で S_b/K が導入されている。ここで粘性土の物理特性を示すパラメータとして塑性指数 I_p に注目する。図-4は、各 S_b/K における液性限界 L.L.、塑性限界 P.L. をプロットしたものである。この図より L.L.、P.L. は S_b/K の対数と直線関係にあることが認められる。

$$L.L. = A \log(S_b/K) + B \quad (A, B, C, D \text{ は定数}) \quad ②$$

$$P.L. = C \log(S_b/K) + D \quad ③$$

$I_p = L.L. - P.L.$ であるから、式②、式③より、

$$I_p = m \log(S_b/K) + n \quad (m = A - C, n = B - D) \quad ④$$

図-5 に示すように塑性指数 I_p が添加量の対数に比例して増加する。式④の I_p と S_b/K の関係から、式①に σ_f と I_p の関係に直すと、

$$\sigma_f = \left\{ a \cdot 10^{\frac{(I_p-n)}{m}} + b \right\} \log \dot{\epsilon} + c \cdot 10^{\frac{(I_p-n)}{m}} + d \quad ⑤$$

が求められる。 $\sigma_f = f(I_p, \dot{\epsilon})$ となり、今回使用したカオリーン粘土に関して、塑性指数とひずみ速度を与えると、それが推定できることが確認されたことになる。

5. まとめ

本研究の結果により、カオリーン粘土のせん断変形におけるひずみ速度の影響には、 I_p の関与していることが明らかになった。これは、ひずみ速度効果のメカニズムを明らかにするものではないが、メカニズムを考える上で手がかりになると考えられる。今回は、 I_p のみに着目し、カオリーン粘土に凝集材を使用した試料を用いたが、今後は複数の I_p の果たす土に關して同様の関係が成立するか、また、 I_p の他に影響を及ぼす因子が存在するか、調べる必要があると思われる。

6. 参考文献

- (1) 松井 保・阿部信晴: 土の構成式入門, ミリーズ No.5, 土と基礎, 1983-11
- (2) A. CASTRO et al. (1983), Shear stress-strain-time behavior of clays, Géotechnique 31, No. 4 537-552

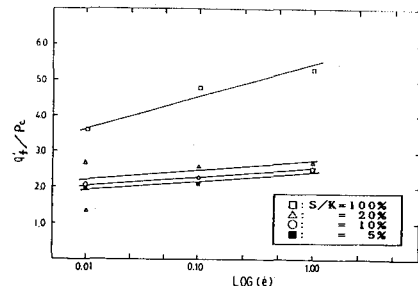


図-3 破壊強度-ひずみ速度関係

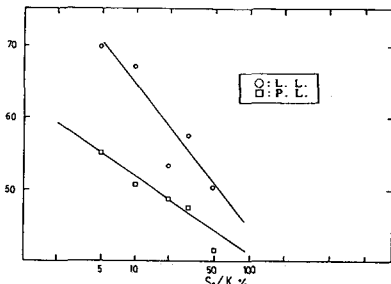


図-4 液性限界及び塑性限界

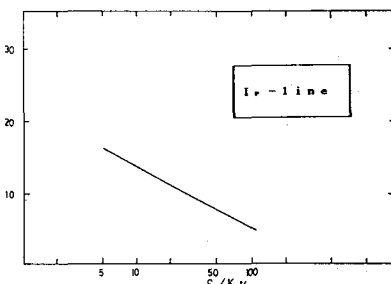


図-5 塑性指数